

大阪大学工学部 正員 西村宣男
大阪大学工学部 正員 小松寛夫
大阪府立木部 正員 中田憲正

1. まえがき 横桁あるいは横構・対傾構で連結された並列桁橋の横つなぎ柱間にみられる主桁の横倒れ極限強度（以下においては局部横倒れと称する）に対する隣接主桁および横つなぎ柱の拘束効果を初期たわみと残留応力を含む弾塑性有限変位解析によつて明らかにす。この目的を達成するためには 1) ほりの基本強度式の決定、

2) 並列桁全体構造の極限強度を適正に評価する解析モデルの作成、3) 隣接部材の拘束効果を表わす適切な力学パラメータの選定、4) 並列主桁の局部横倒れ極限強度の実用算定式の作成について検討を加えた。

2. ほりの基本強度式 主桁の局部横倒れ極限強度に対する拘束効果を評価する際の基準となる基本強度式を表-1に掲げる断面寸法を有するほりを対象とした弾塑性有限変形解析結果に基づいて次式のように決定した。各モデルは最大繰返スパン長、 $1/2000$ の sine 半波の水平横方向初期たわみと図-1 および図-2 中に示す残留応力を有するものとした。極限強度は細長比パラメータ入の関数として

$$\text{溶接ほり: } Mu/M_p = 1 + 0.397 \lambda - 2.379 \lambda^2 + 2.150 \lambda^3 - 0.613 \lambda^4 \quad (1)$$

$$\text{圧延ほり: } Mu/M_p = 1 - 0.019 \lambda - 0.480 \lambda^2 + 0.159 \lambda^3 - 0.004 \lambda^4 \quad (2)$$

図-1 および図-2 はそれぞれ溶接ほりと圧延ほりに対する極限強度の解析結果、福本ら¹⁾による収集された実験データおよび ECCS ほり強度曲線を対比したものである。式(1) および式(2) は実験データの下限 ($M=2S$) をほどき包絡して得た。

3. 弾性拘束ほりの極限強度 次に両端が上下フランジの鉛直軸またはわりの回転変位が弾性拘束されたほりに面内等モーメントが作用する場合（図-3）の極限強度を調べた。回転バネの剛性を K 、ほりの鉛直軸またはわりの曲げ剛性を EI 、スパン長を L とするとき、拘束パラメータは

$$k = K/L^2EI \quad (3)$$

と表わされる。3種の細長比パラメータの溶接ばりについて、極限強度と拘束パラメータ

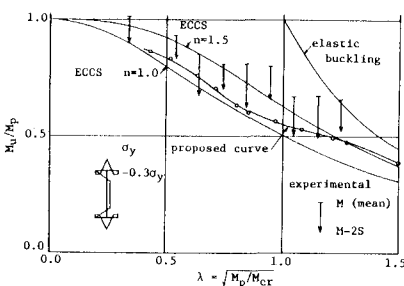


図-1 溶接はりの基本強度

表-1 解析モデルの断面寸法

Model No.	H	B	t_w	t_f
welded	WG-1	1,500	480	10 20
	WG-2	1,200	400	10 20
	WG-3	1,200	360	10 20
	WG-4	1,200	290	10 20
	WG-5	1,000	240	10 20
	WG-6	900	200	10 20
rolled	RG-1	912	302	18 34
	RG-2	700	300	13 24
	RG-3	600	200	11 17
	RG-4	596	200	11 15
	RG-5	582	300	12 17
				unit : mm

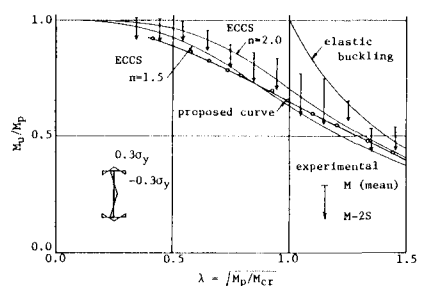
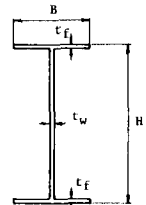


図-2 圧延はりの基本強度

への關係を図-4 に示す。ほりの極限強度は拘束パラメータのほかに、部材の細長比の影響を受けることが明らかである。そこで、弾性拘束はりの極限強度 M_u はほりの基本強度 M_0 の比を k と入の関数として次式を表わす。

$$M_u/M_0 = \{ 1 + (0.82 - 0.15k)k \} / \{ 1 + (0.4 - 0.02k)k \} \quad (4)$$

4. 並列桁の極限強度解析モデルと拘束効果の評価 並列桁の極限強度のパラメトリック解析は全体構造ではなく、図-5 および図-6 に示すように中間で支持する、は弾性拘束された 1 本の主桁を対象とした解析モデルを用いた。この

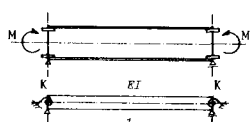


図-3 弾性拘束はりモデル

解析モデルの妥当性および全幅横倒れ変形が問題となる主桁間隔の範囲、2主桁橋につつての適用限界につつては文献2)で明らかにした。

主桁の局部横倒れ極限強度に対する影響を与えるパラメータは横構形式の場合、パネル数、着目パネルと隣接パネルの主桁の鉛直剛性比、横行形式の場合にはこれらのパラメータ以外に横行の拘束効率を表すパラメータ P_k が加わる。 P_k は次式で表わされるように主桁と横行の連結部の局部変形の効果を含む。

$$P_k = \frac{2 \cdot EI_c}{EI} \frac{l}{b} \left(1 + 2 \frac{EI_c}{K_0 b} \right) \quad (5)$$

こゝに K_0 は連結部の局部変形に關係する回転ばね剛性³⁾、 EI_c は横行の曲げ剛性、 b は主桁間隔を表す。

これら3つのパラメータを組合せた解析モデルに等分布鉛直荷重が作用する場合について、極限強度解析を行なった。その結果を以下に示す拘束パラメータの評価法を導入して、前述の弹性拘束はりの極限強度と比較した。

極限状態における隣接主桁の拘束効率はその応力レベルに關係するから、低減係数 ψ を導入して

$$\kappa = S \psi \frac{EI_c}{EI} \frac{l}{l_i} \quad (6) \quad \psi = 1 - (p_0/p_i)^{1/4} \quad (7)$$

こゝに p_0, p_i は対象としている荷重による曲げモーメント分布に対応した单一ばねとしての極限強度で、エーメント分布による細長比パラメータの補正⁴⁾を施さし、式(1)あるいは(2)によて与えられる強度を用いる。また係数 S は3パネルでは3、5パネル以上では4とする。横構形式では横行の効果を含めて

$$\kappa = S \psi \frac{EI_c}{EI} \frac{l}{l_i} + P_k \quad (8)$$

係数 S は2とする。

拘束パラメータ比を用いて解析モデルの極限強度を評価すると、図-7、および図-8に示すように、弹性拘束はりの極限強度曲線を並列桁の局部横倒れ極限強度にも適用できることが明らかとなる。

5. あとがき 本立ては紙面の都合上、著接はりの結果を示すにとどめ、だが、横構形式の圧延はりにつつても、同様の結果を得てあるので、講演当日、申し上げる。

参考文献

- 1) 福木・伊藤：座屈実験データベースによる鋼はりの横ねじれ基準強度に関する実証的研究、土木学会論文報告集、No. 341, 1984.
- 2) 小松・西村・中田：並列桁主桁の横倒れ座屈荷重長さ関係の考察、土木学会関西支部年次学術講演会概要集、I-60, 1984.
- 3) 小松・西村・大野：横行で連結された2主桁橋の全幅横倒れ座屈特性と補剛設計法、土木学会論文報告集、No. 329, 1983.
- 4) Nethercot-Trehair: Lateral buckling approximations for elastic beams, Struct. Eng., Vol. 54, No. 6, 1976.

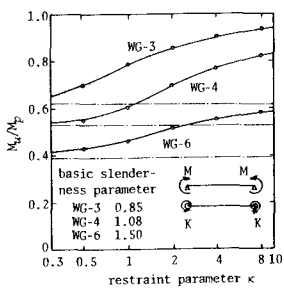


図-4 弹性拘束はりの極限強度

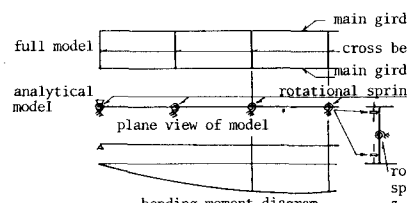


図-5 横桁タイプの解析モデル

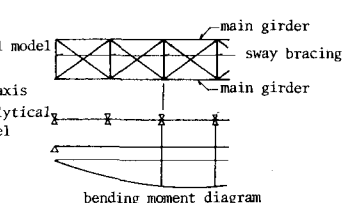


図-6 構構タイプの解析モデル

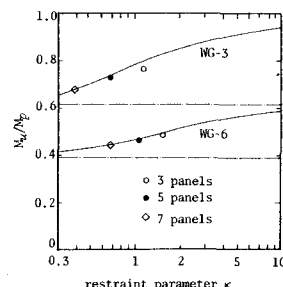


図-7 構構タイプ並列桁の極限強度

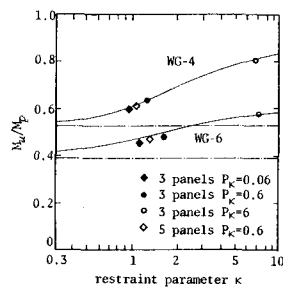


図-8 横桁タイプ並列桁の極限強度